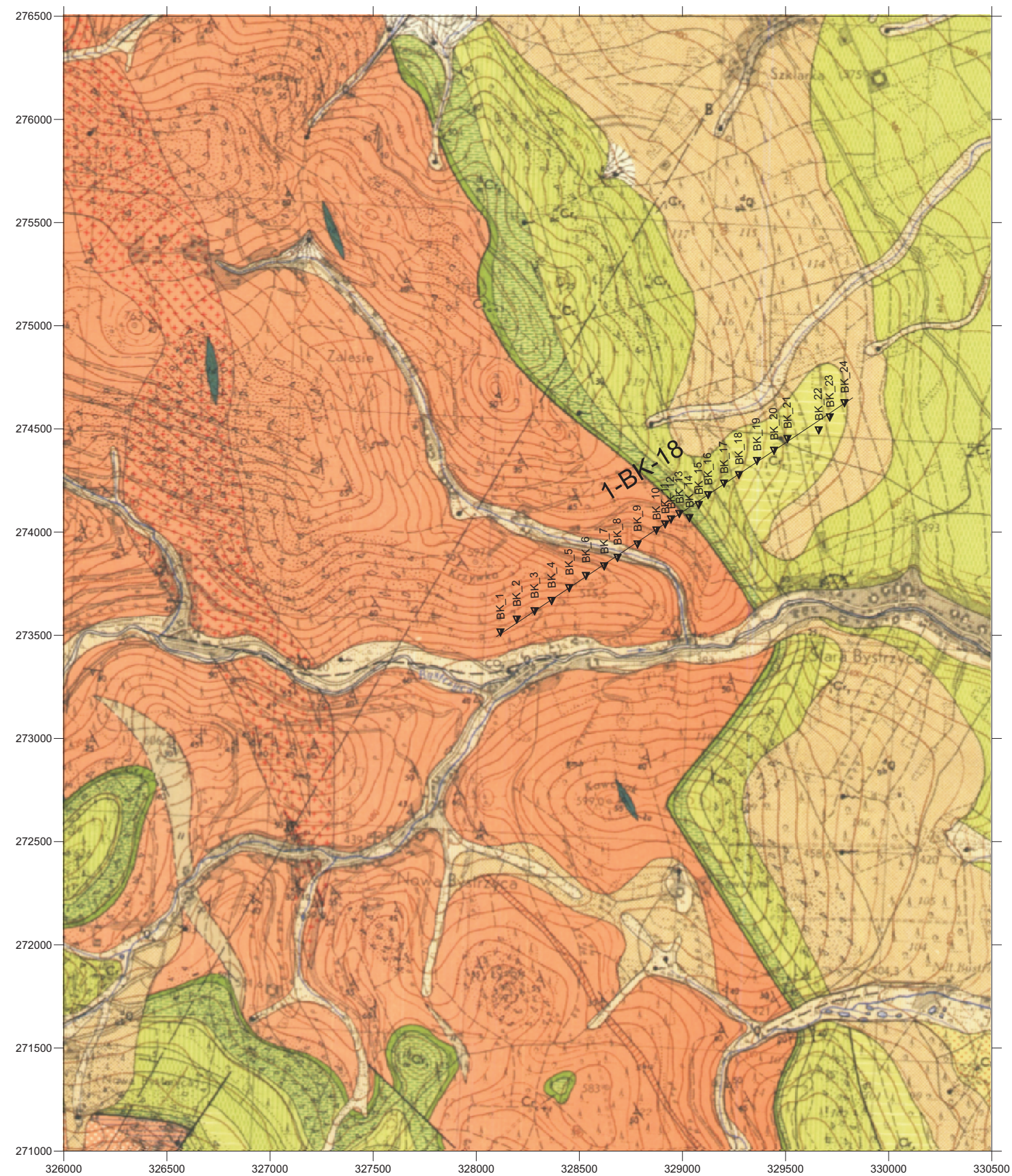




Figura 3.7.12.1. Lokalizacja sondowań magnetotellurycznych na tle mapy topograficznej -podkład-Mapa Topograficzna Polski źródło:<http://mapy.geoportal.gov.pl/wss/service/img/guest/TOPO/MapServer/WMSServer> -rejon badań - Bystrzyca Kłodzka, skala 1:25 000



OBJAŚNIENIA BARW I SYMBOLI

	Osady rzeczne w ogólności
	Gliny deluwialne z rumoszem skalnym
	Iły margliste
	Piaskowce kwarcowo-skalieniowe poziomu z Inoceramus larmacki
	Margle piaszczyste poziomu z Inoceramus larmacki
	Piaskowce glaukonitowe, krzemionkowe poziomu z Actinocamax plenus, w spagu lokalnie zlepienie i piaskowce poziomu z Inoceramus virgatus
	Paragnejsy dwutyszczykowe

▼ BK_1 sondowanie magnetotelluryczne
— profil magnetotelluryczny

Figura 3.7.12.2. Lokalizacja wykonanych sondowań magnetotellurycznych na tle Szczegółowej Mapy Geologicznej Sudetów - rejon: - Bystrzyca Kłodzka -fragment arkusza M-33-70-A-a Bystrzyca Nowa-opracował: J. FISTEK, J. GIERWIELANIEC , 1957 r., skala 1:25 000

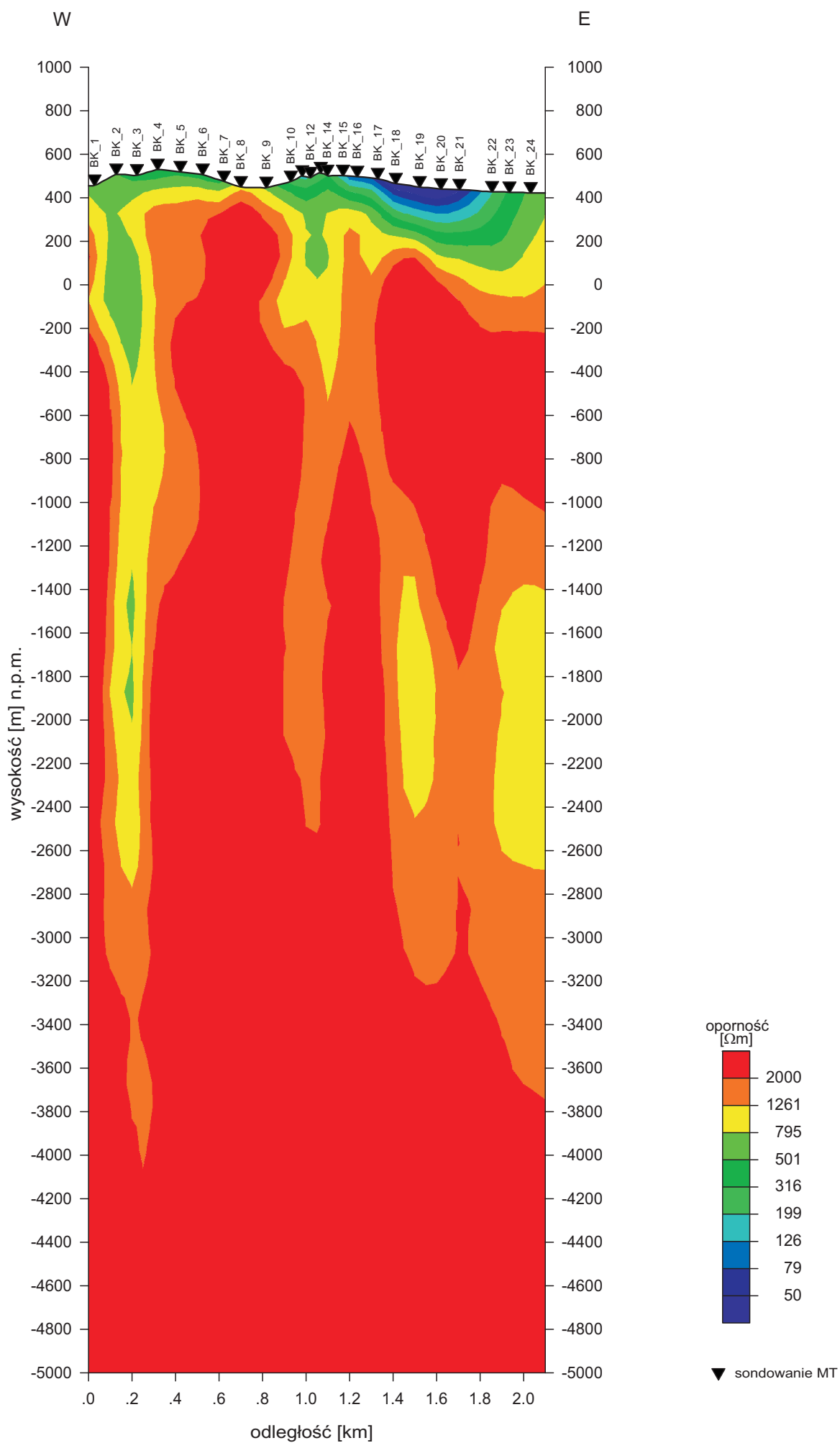


Figura 3.7.12.3. Rozkład oporności wzdłuż profilu 1-BK-18 Bystrzyca Kłodzka na podstawie inwersji 1D wg algorytmu Occama dla polaryzacji magnetycznej

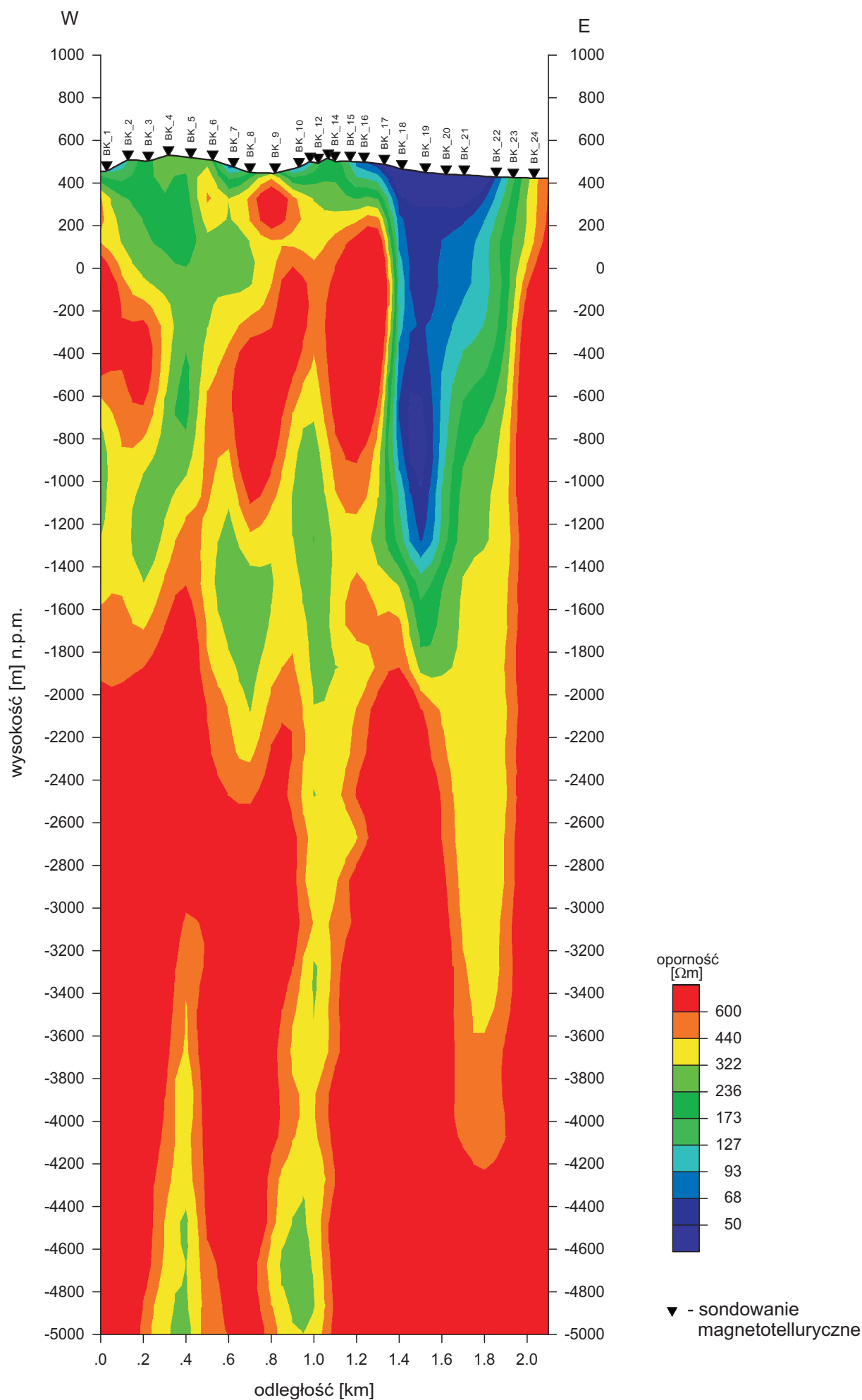


Figura 3.7.12.4. Rozkład oporności wzdłuż profilu 1-BK-18 Bystrzyca Kłodzka na podstawie inwersji 1D wg algorytmu Occama dla polaryzacji elektrycznej

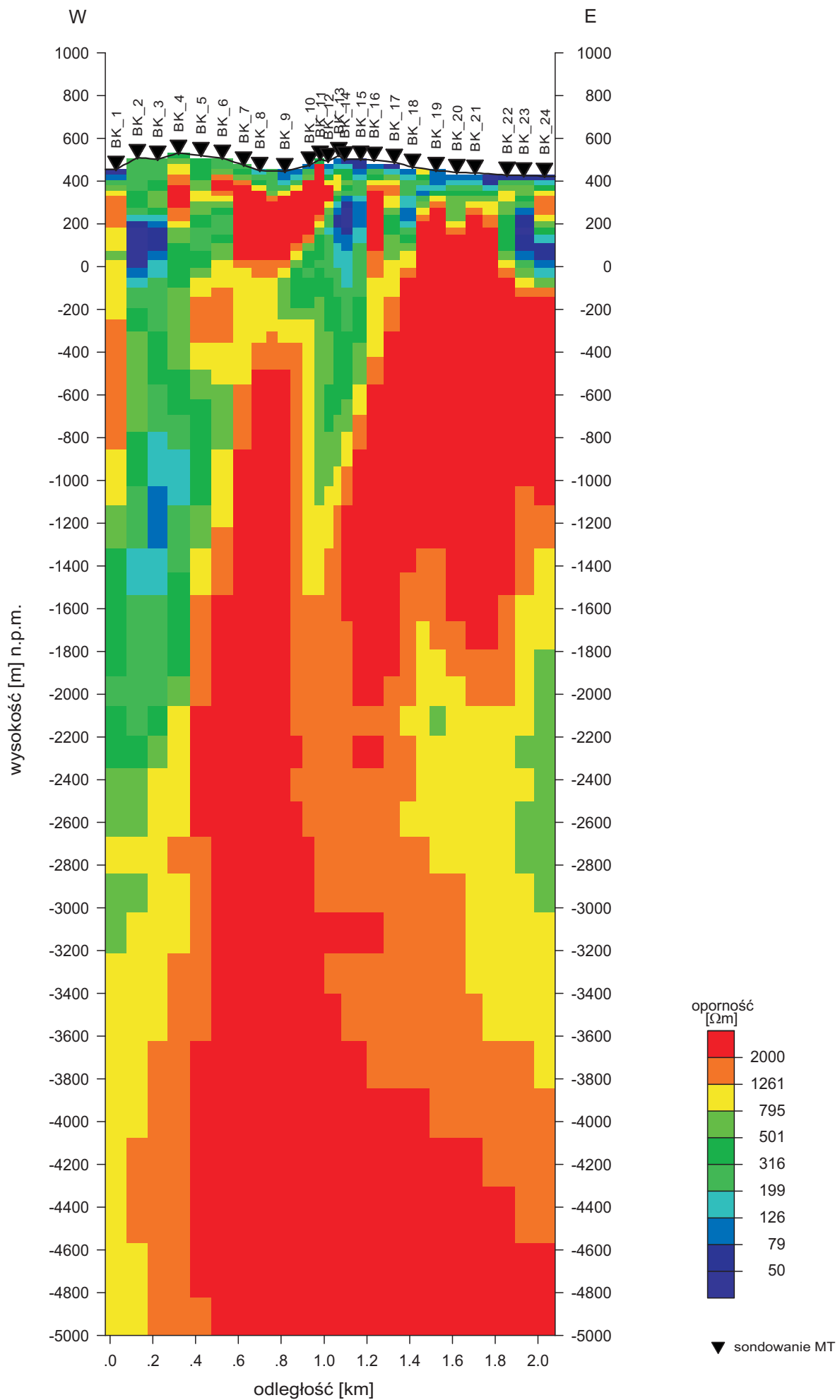


Figura 3.7.12.5. Rozkład oporności wzdłuż profilu 1-BK-18 Bystrzyca Kłodzka na podstawie inwersji 2D wg algorytmu NLCG

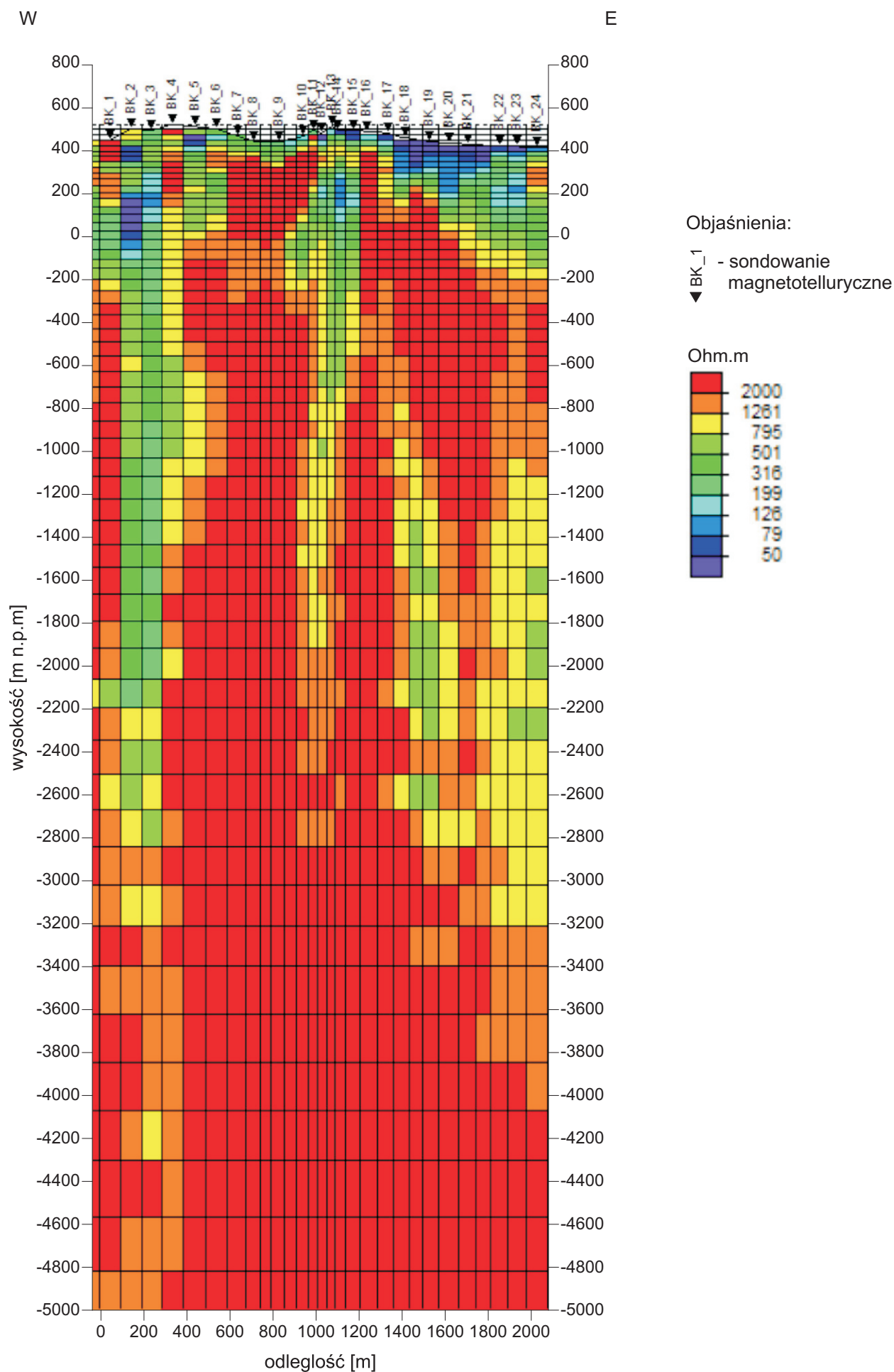


Figura 3.7.12.5a Rozkład oporności wzdłuż profilu 1-BK-18 Bystrzyca Kłodzka na podstawie inwersji 2D wg algorytmu NLCG (iteracja 3)

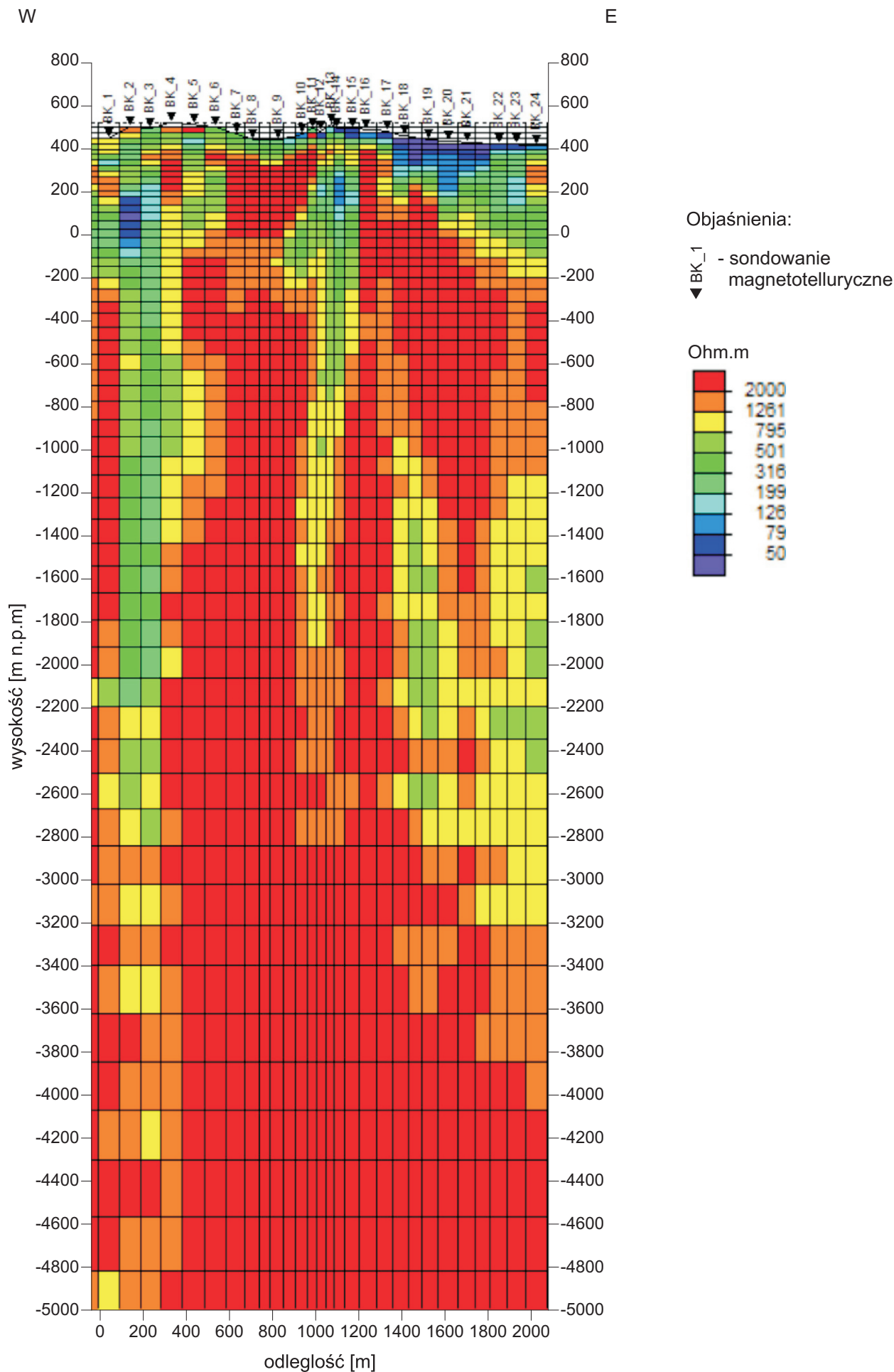


Figura 3.7.12.5b Rozkład oporności wzdłuż profilu 1-BK-18 Bystrzyca Kłodzka na podstawie inwersji 2D wg algorytmu NLCG (iteracja 6)

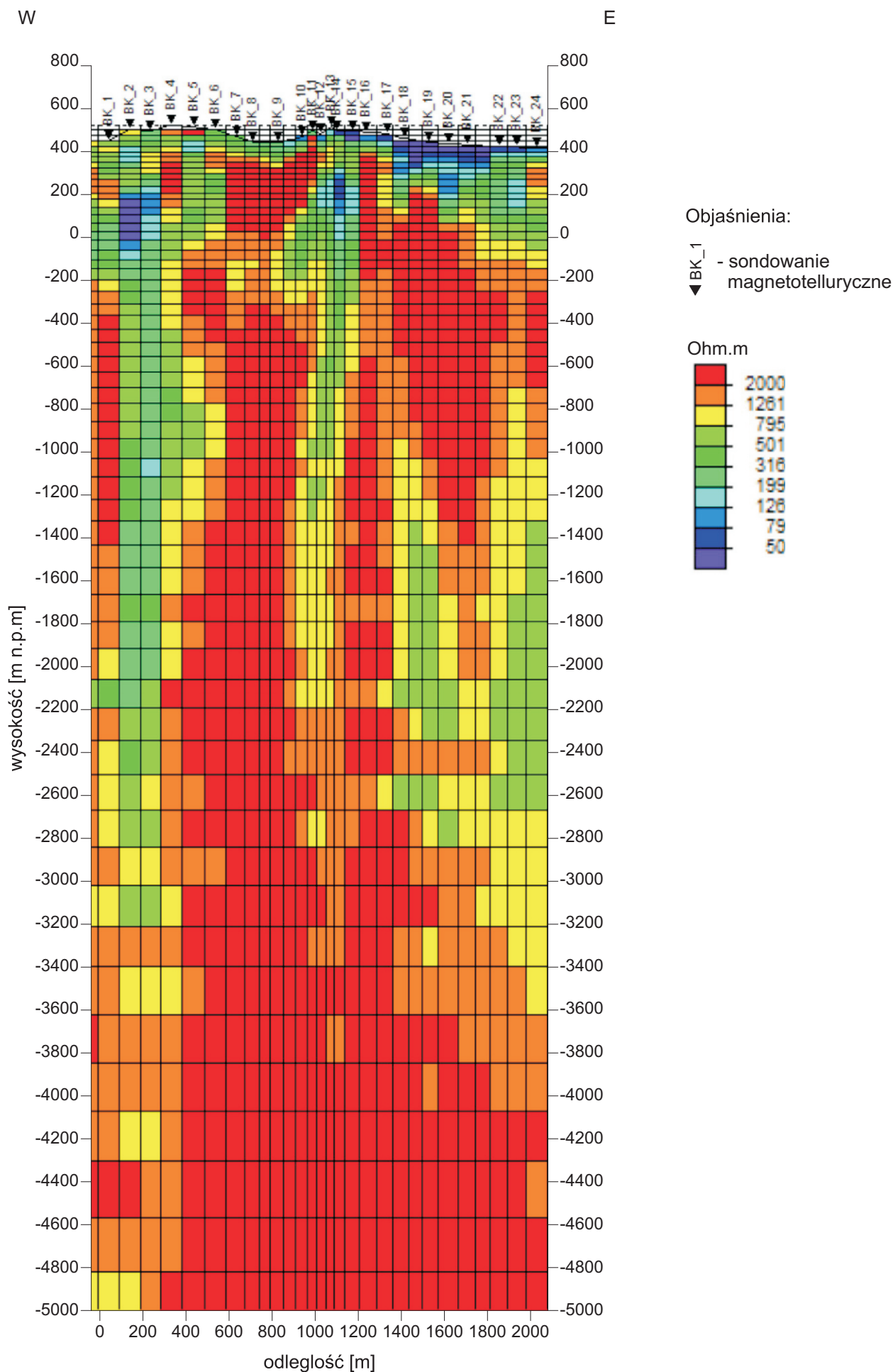


Figura 3.7.12.5c Rozkład oporności wzdłuż profilu 1-BK-18 Bystrzyca Kłodzka na podstawie inwersji 2D wg algorytmu NLCG (iteracja 9)

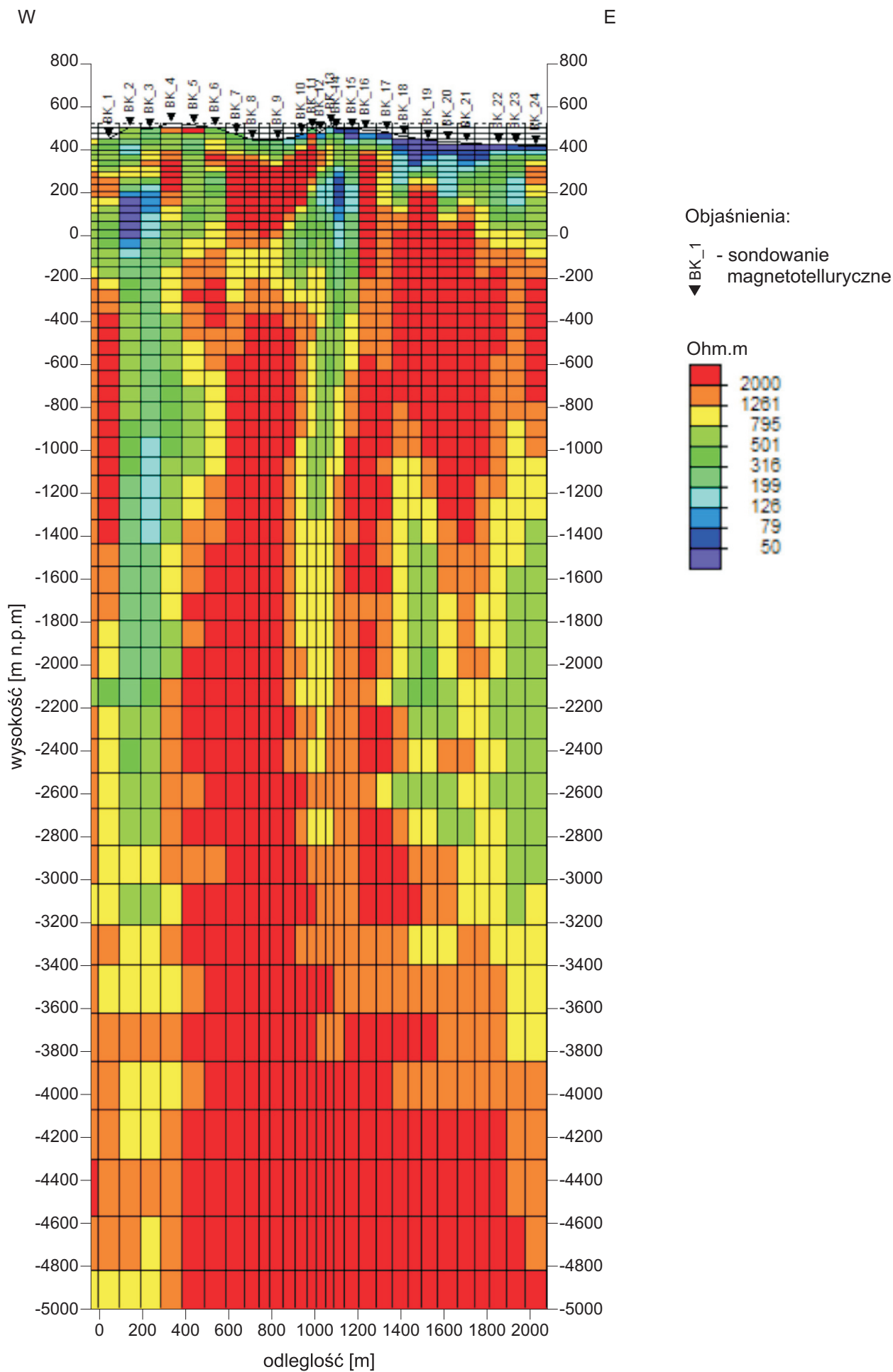


Figura 3.7.12.5d Rozkład oporności wzdłuż profilu 1-BK-18 Bystrzyca Kłodzka na podstawie inwersji 2D wg algorytmu NLCG (iteracja 12)

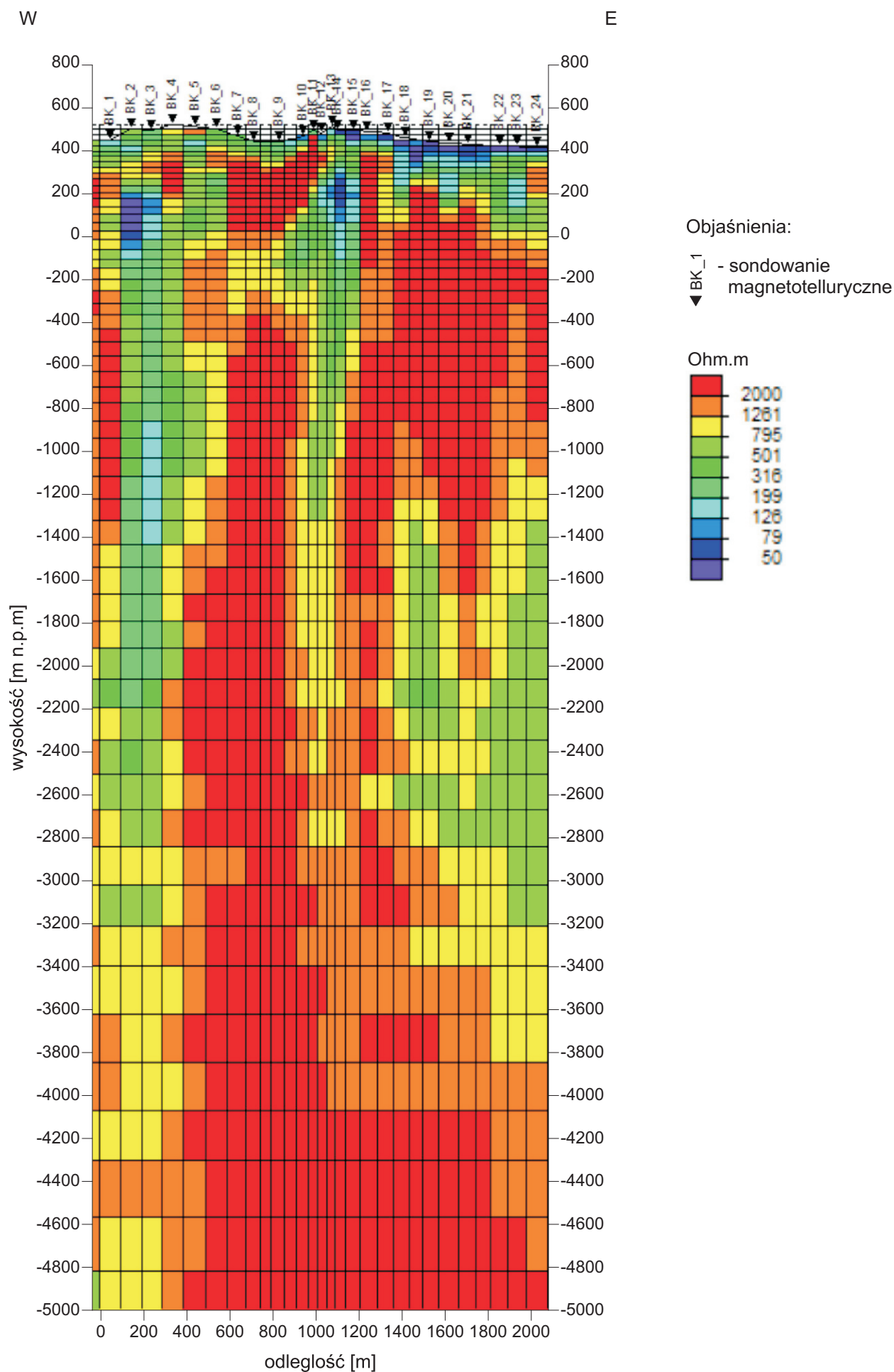


Figura 3.7.12.5e Rozkład oporności wzdłuż profilu 1-BK-18 Bystrzyca Kłodzka na podstawie inwersji 2D wg algorytmu NLCG (iteracja 15)

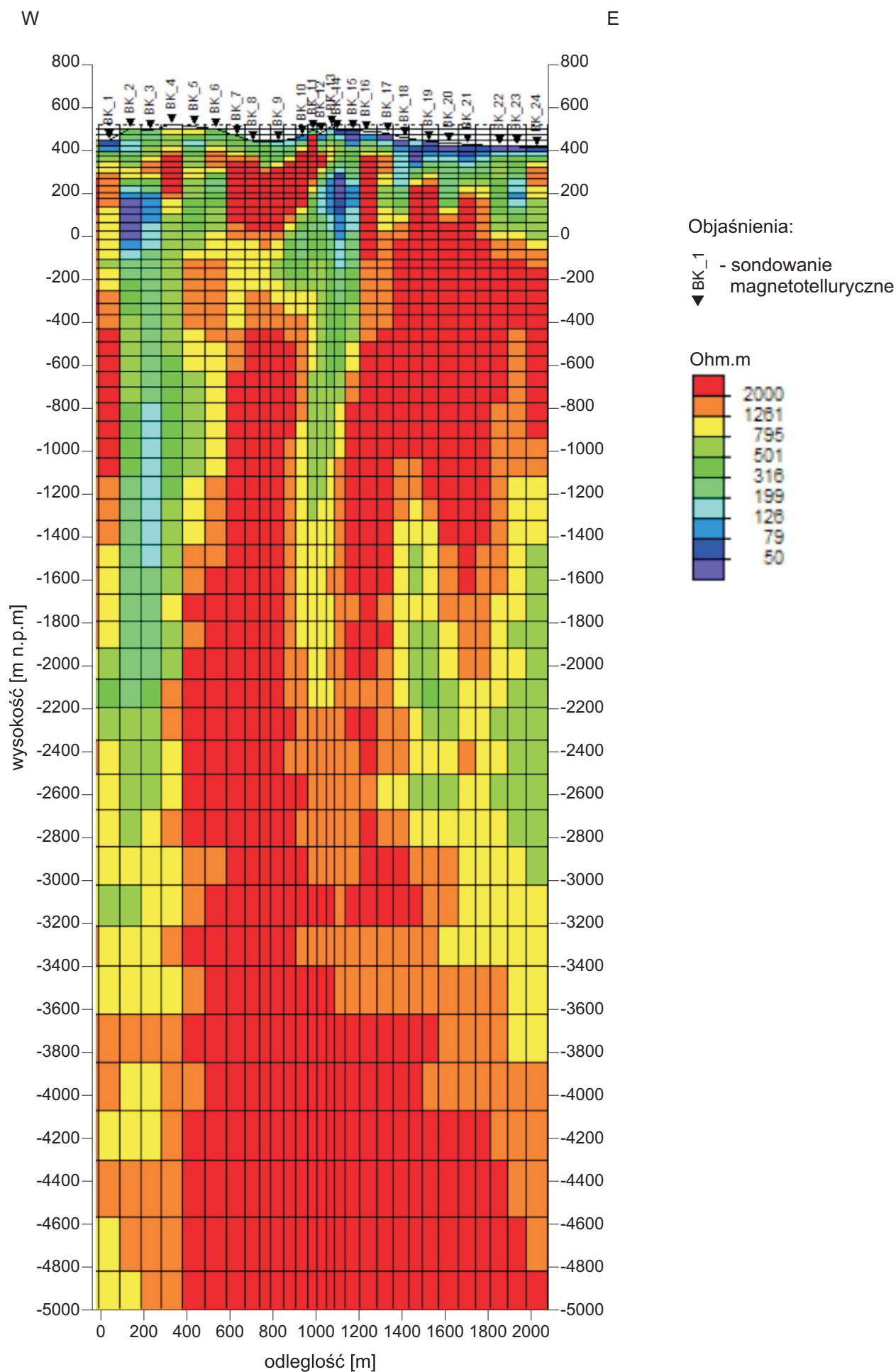


Figura 3.7.12.5f Rozkład oporności wzdłuż profilu 1-BK-18 Bystrzyca Kłodzka na podstawie inwersji 2D wg algorytmu NLCG (iteracja 18)

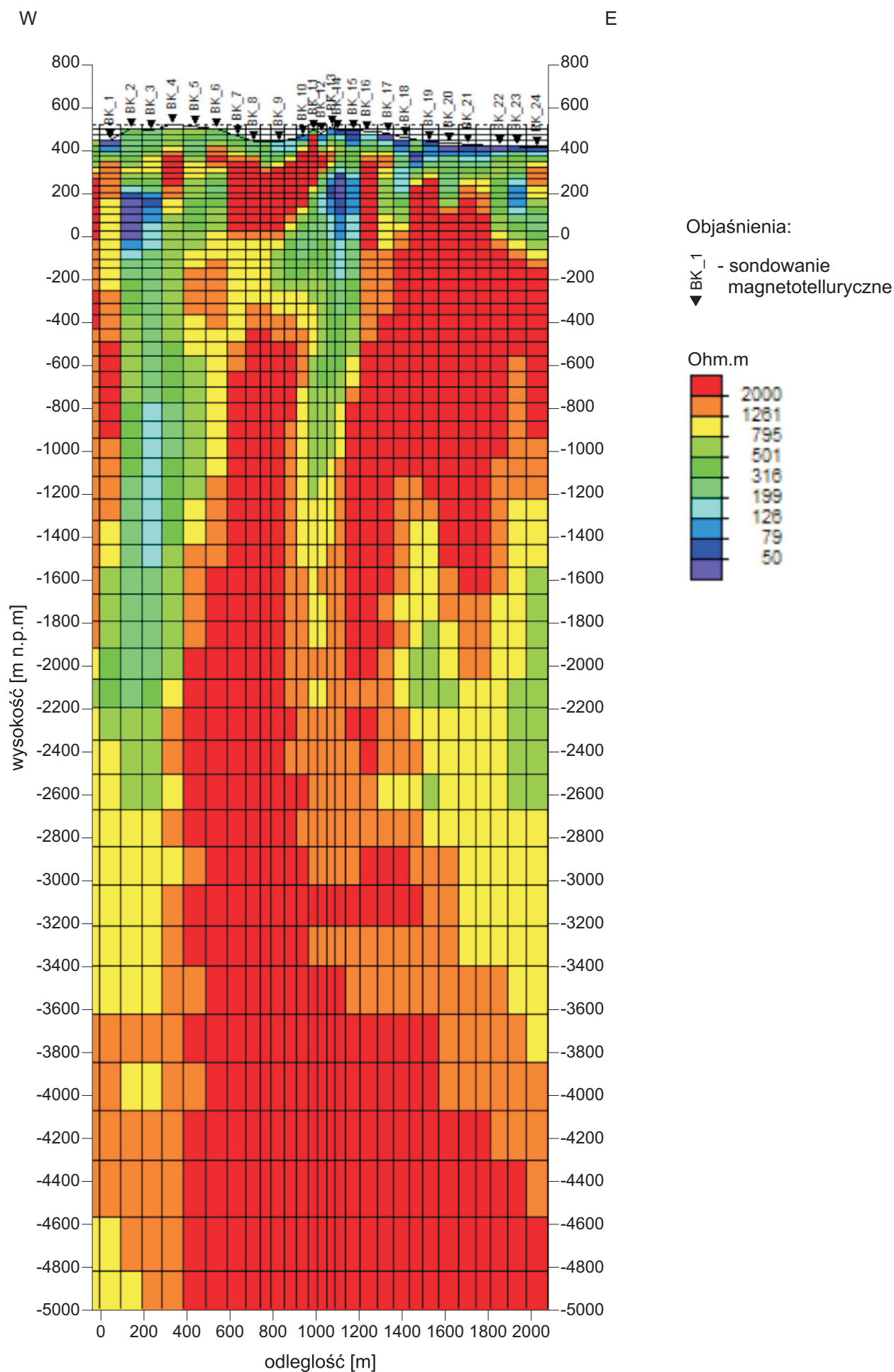


Figura 3.7.12.5g Rozkład oporności wzdłuż profilu 1-BK-18 Bystrzyca Kłodzka na podstawie inwersji 2D wg algorytmu NLCG (iteracja 21)

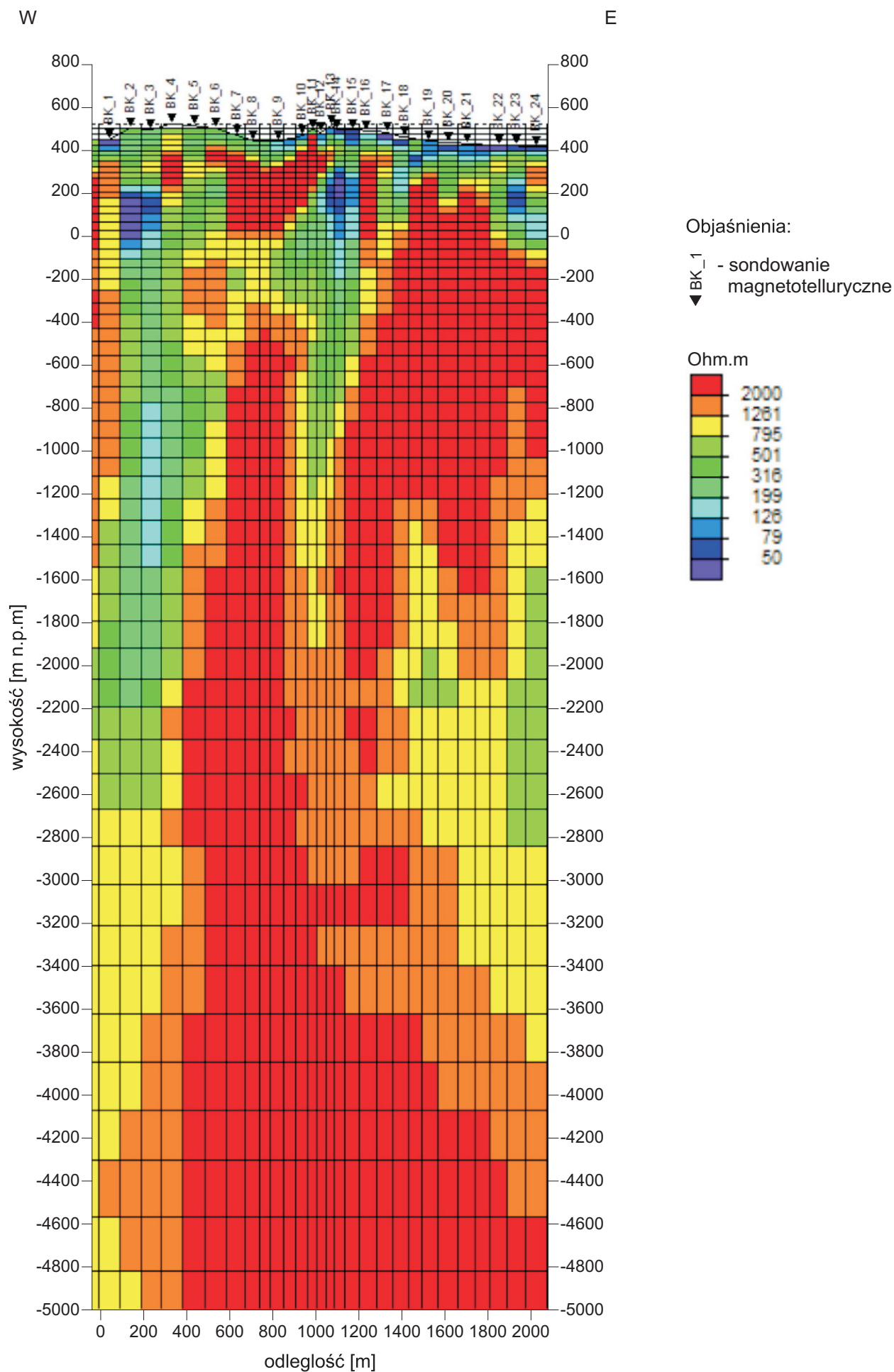


Figura 3.7.12.5h Rozkład oporności wzdłuż profilu 1-BK-18 Bystrzyca Kłodzka na podstawie inwersji 2D wg algorytmu NLCG (iteracja 24)

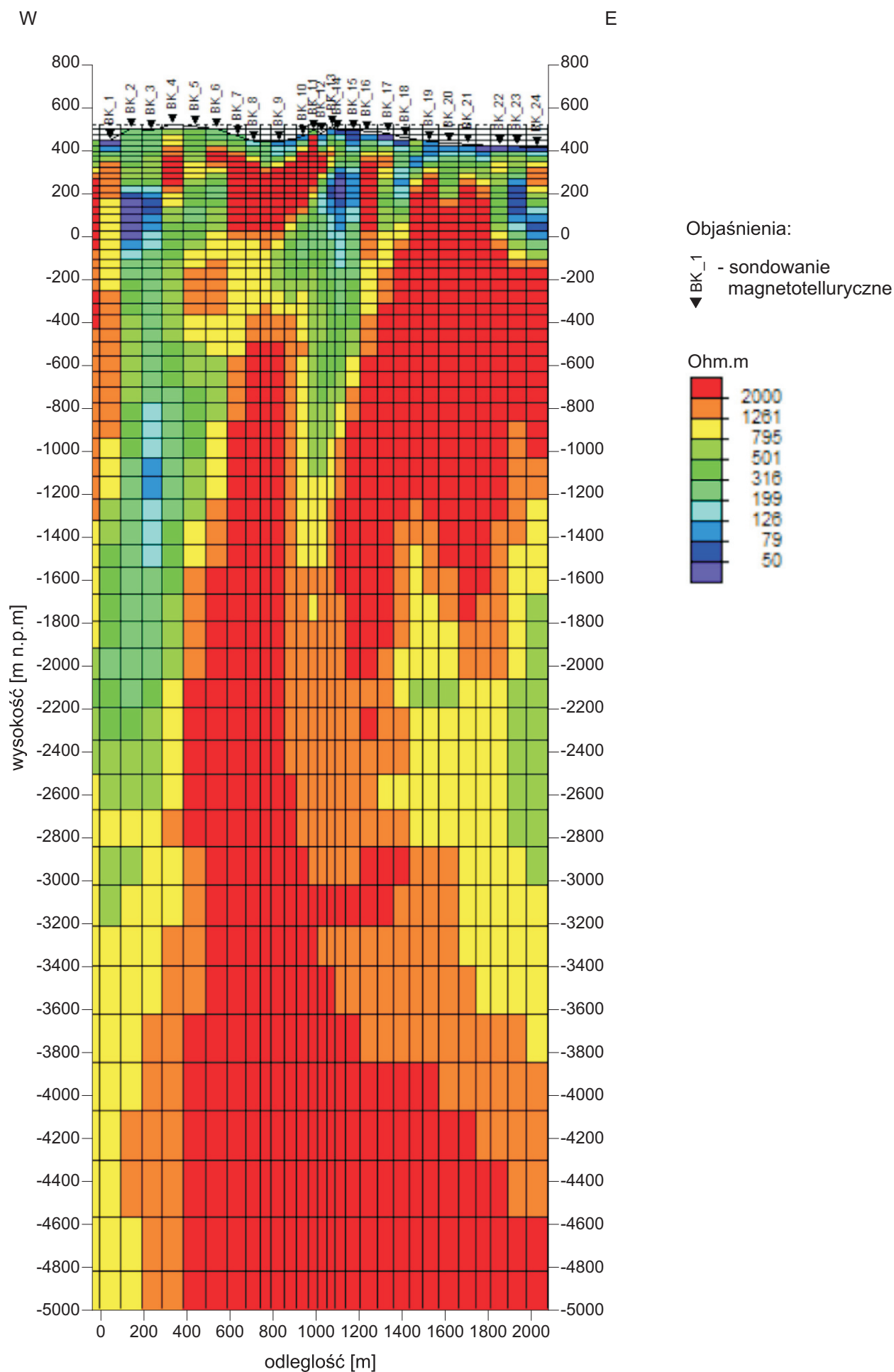


Figura 3.7.12.5i Rozkład oporności wzdłuż profilu 1-BK-18 Bystrzyca Kłodzka na podstawie inwersji 2D wg algorytmu NLGC (iteracja 27)

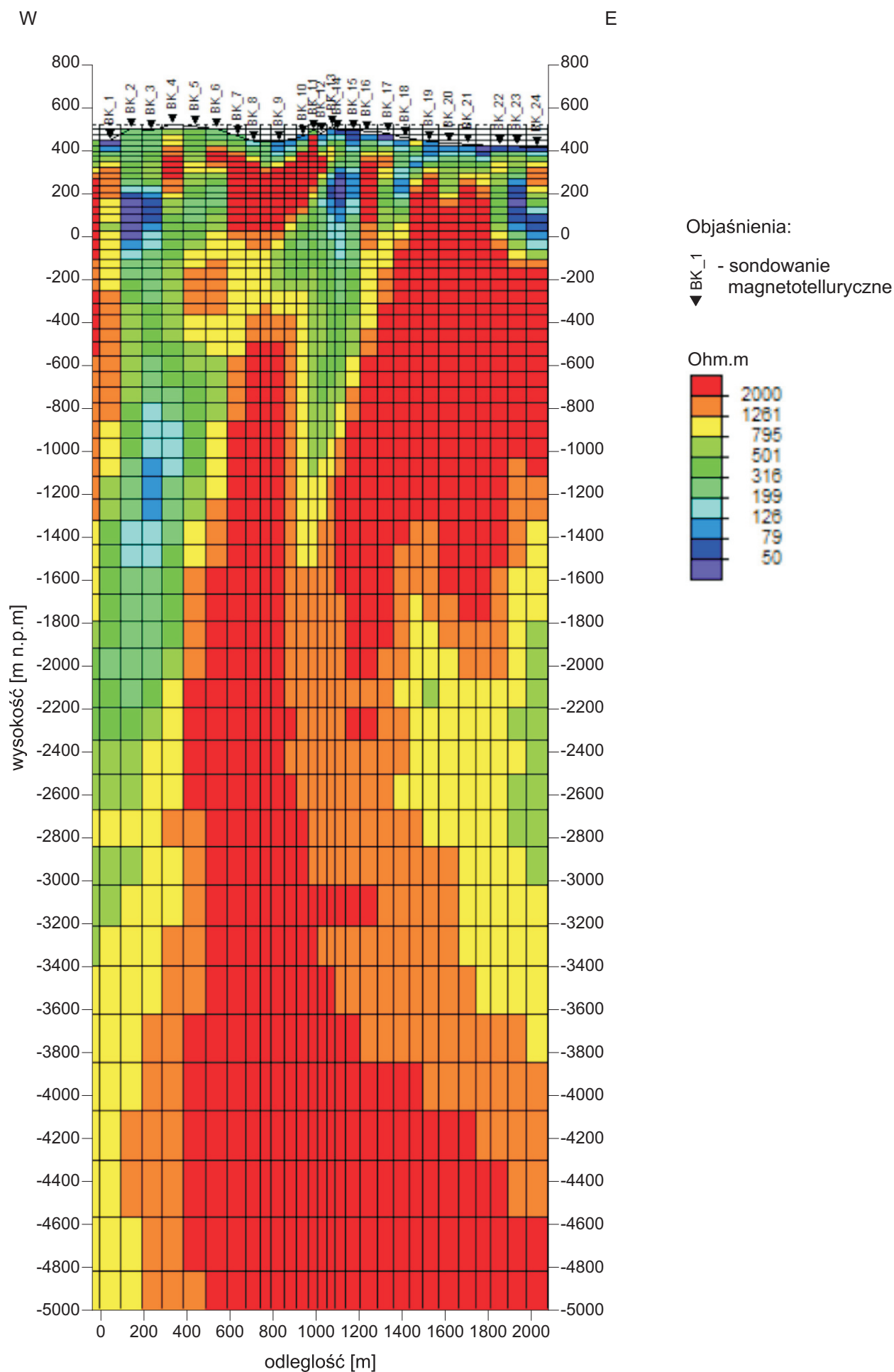


Figura 3.7.12.5j Rozkład oporności wzdłuż profilu 1-BK-18 Bystrzyca Kłodzka na podstawie inwersji 2D wg algorytmu NLCG (iteracja 30)

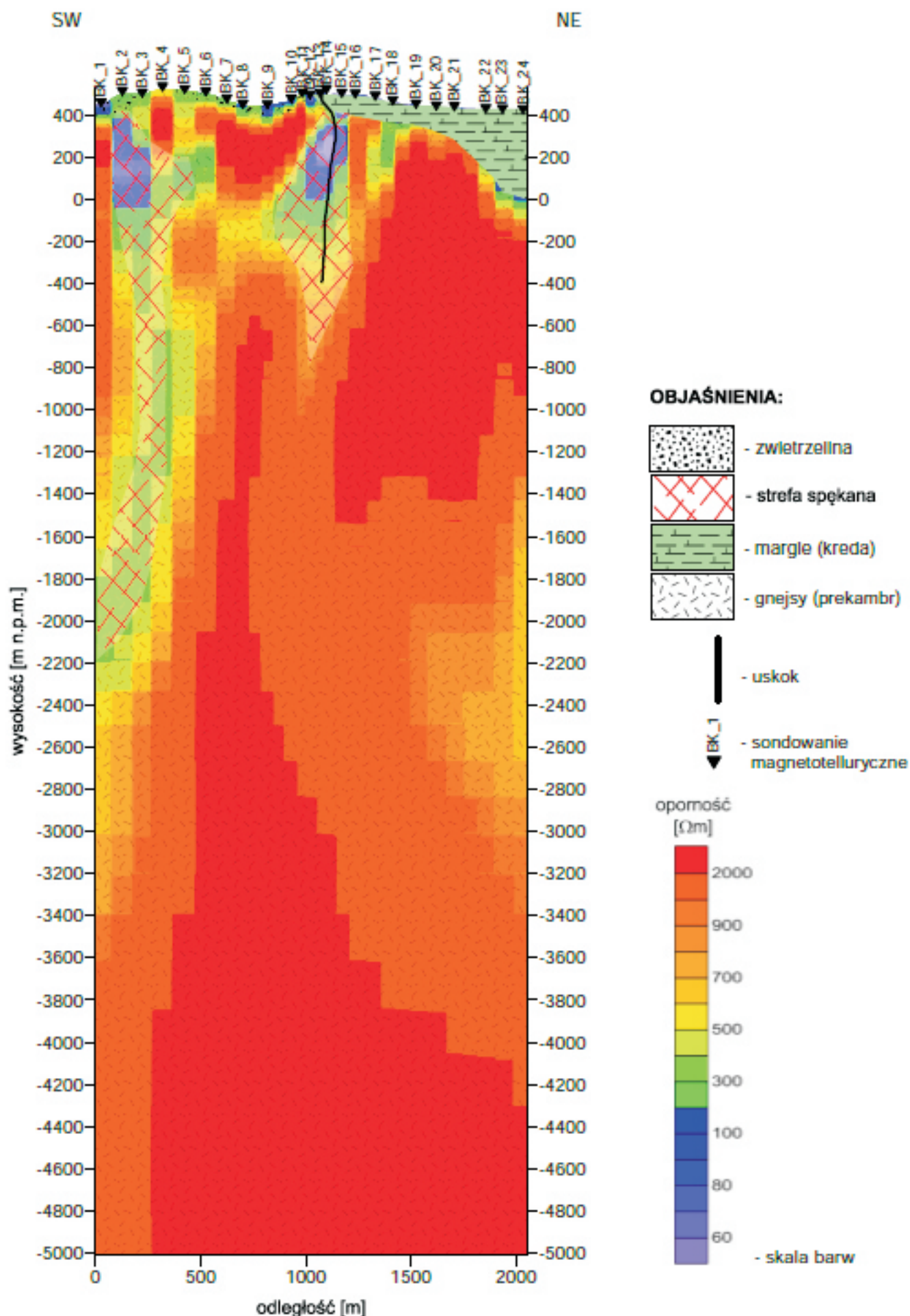


Figura 3.7.12.6. Interpretacja geologiczna wzdłuż profilu 1-BK-18 Bystrzyca Kłodzka wykonana na podstawie rozkładu oporności uzyskanego w wyniku inwersji 2D wg algorytmu NLGC oraz danych geologicznych